

ČESKÉ VYSOKÉ UČENÍ TECHNICKÉ V PRAZE
FAKULTA STAVEBNÍ, OBOR GEODÉZIE A KARTOGRAFIE
KATEDRA GEOMATIKY

GEOINFORMATIKA

Úloha 1 – JPEG komprese rastru

Rok	Semestr	Skupina	Vypracovali	Datum
2025/2026	ZS		František Gurecký Vítek Veselý	19.11.2025

1 Zadání

Implementujte JPEG kompresi rastru bez využití vestavěných funkcí.

Kompresní algoritmus otestujte na různých typech rastru a s různými faktory komprese q .

Pro každou variantu spočtěte střední kvadratickou odchytku m jednotlivých RGB složek.

Na základě vypočtených údajů zhodnotte, ke kterým typům dat je JPEG komprese nejvíce a naopak nejméně vhodná.

2 Bonusové úlohy

- Resamplování rastru
- Konverze pixelů do ZIG-ZAG sekvencí
- Huffmanovo kódování
- Náhrada DCT s využitím DFT
- Náhrada DCT s využitím DWT

3 Popis problému

Metoda JPEG je druh transformační komprese, která je ztrátová. Tyto metody využívají relativně malé citlivosti lidského oka na změny barev. Lze tedy upravit barvy tak, aby se dal rastr efektivněji uložit do paměti za cenu jisté ztráty dat, avšak bez ztráty vizuálního vjemu. Cílem této úlohy je implementovat tento druh komprese, včetně zpětné dekomprese.

4 Popis algoritmů

Na začátku celého procesu je načten obrazový soubor, který je následně rozložen na jednotlivé složky R , G a B . Tyto složky jsou transformovány do barevného systému $YCbCr$, jenž odděluje jasovou složku od barevných složek a tím umožňuje efektivnější kompresi obrazu.

4.1 Resampling

V dalším kroku je proveden *resampling*, při němž jsou hodnoty určitého počtu pixelů nahrazeny jejich průměrnou hodnotou. Tento krok snižuje množství dat, která je nutné

dále zpracovávat, a umožňuje dosažení vyšší míry komprese při zachování přijatelné kvality výsledného obrazu.

```
funkce resample(obraz, velikostBloku):  
    pro i = 1 až výška(obraz) krok velikostBloku:  
        pro j = 1 až šířka(obraz) krok velikostBloku:  
            blok = obraz(i:i+velikostBloku-1, j:j+velikostBloku-1)  
            prumer = průměr(blok)  
            nastav celý blok na hodnotu prumer  
    konec  
konec
```

4.2 Blokové zpracování 8×8

Následující část algoritmu pracuje po blocích o velikosti 8×8 pixelů. Pro každý blok je aplikována jedna z implementovaných transformací — *diskrétní kosinová transformace (DCT)*, *diskrétní Fourierova transformace (DFT)* nebo *diskrétní vlnková transformace (DWT)*. Volba konkrétní transformace je v implementaci určena parametrem na řádku 69 skriptu. [1]

```
pro každou složku Y, Cb, Cr:  
    rozděl obraz na bloky  $8 \times 8$   
    pro každý blok:  
        aplikuj zvolenou transformaci (DCT / DFT / DWT)  
        proved kvantizaci bloku  
    konec  
konec
```

Po provedení transformace jsou hodnoty kvantizovány pomocí kvantizačních matic, které zvýrazní dominantní členy signálu a potlačí méně významné složky. Kvantizované hodnoty jsou následně zaokrouhleny a uloženy do výsledné matice.

4.3 Zig-zag průchod

Takto zpracovaný rastr je poté převeden do jednorozměrné formy pomocí tzv. „cik-cak“ průchodu (angl. *zig-zag*). Tento algoritmus prochází prvky matice diagonálně a přeskupuje je do jednoho vektoru. Implementace je optimalizována tak, že hodnoty zapisuje z obou konců výsledného pole současně, čímž je každý prvek zpracován pouze jednou. Díky tomu je průchod přibližně dvakrát rychlejší než klasický sekvenční algoritmus. [1]

```
funkce zigzag(matrice):  
    výstup = prázdný seznam  
    pro součet = 0 až 14:
```

```
pokud součet je sudý:  
    projdi diagonálu zdola nahoru  
jinak:  
    projdi diagonálu shora dolů  
    přidej prvky do výstupu  
konec  
vrať výstup  
konec
```

4.4 Huffmanovo kódování

Na získaný vektor hodnot je následně aplikováno *Huffmanovo kódování*. Nejprve jsou spočteny četnosti jednotlivých symbolů, podle nichž je zkonstruován binární strom. V každém kroku jsou dvě nejméně pravděpodobné položky sloučeny do jednoho nadřazeného uzlu, dokud nezůstane jediný kořen stromu. Každému průchodu stromem je přiřazena binární hodnota - 1 pro levou, 0 pro pravou větev - čímž vznikne unikátní binární kód pro každý symbol. Častěji se vyskytující symboly získají kratší kód, zatímco méně časté delší. Výsledkem je mapa kódů, která se použije k převodu původních hodnot na komprimovanou bitovou sekvenci. V této implementaci je výsledná sekvence uložena jako řetězec, což má spíše demonstrační než paměťově úsporný charakter. [1]

```
funkce huffman(hodnoty):  
    spočítej četnosti hodnot  
    vytvoř prioritní frontu z četností  
    dokud ve frontě nezůstane jeden uzel:  
        levý = vyjmi nejméně častý prvek  
        pravý = vyjmi druhý nejméně častý prvek  
        vytvoř rodičovský uzel sloučením levý + pravý  
        vlož rodiče zpět do fronty  
    konec  
    z výsledného stromu přiřaď binární kódy  
    vrať mapu kódů  
konec
```

4.5 Dekomprese

Při dekomprezii jsou prováděny kroky inverzní ke všem výše uvedeným — tedy dekódování Huffmanova kódu, inverzní „cik-cak“ uspořádání a inverzní transformace (IDCT, IDFT nebo IDWT). Po zpětné transformaci do systému *RGB* vznikne dekomprimovaný obraz, u něhož je možné vyhodnocovat chyby pomocí střední kvadratické odchylky v jednotlivých složkách. Malé hodnoty těchto chyb znamenají, že výsledná ztráta kvality obrazu je minimální. [1]

dekóduj Huffmanův bitový tok
 aplikuj inverzní zig-zag
 pro každý blok 8×8:
 proved dekvantizaci bloku
 aplikuj inverzní transformaci (IDCT / IDFT / IDWT)
 konec
 rekonstruuji složky Y, Cb, Cr
 převeď zpět do RGB

5 Použité vzorce

Rovnice DCT [1]

$$\begin{aligned}
 F(u, v) &= \frac{1}{4} C(u) \cdot C(v) \left(\sum_{x=0}^7 \sum_{y=0}^7 f(x, y) \cdot \cos \frac{(2x+1)u\pi}{16} \cdot \cos \frac{(2y+1)v\pi}{16} \right) \\
 C(u) &= \begin{cases} \frac{\sqrt{2}}{2}, & u = 0, \\ 1, & u \neq 0, \end{cases} \quad C(v) = \begin{cases} \frac{\sqrt{2}}{2}, & v = 0, \\ 1, & v \neq 0. \end{cases} \tag{1}
 \end{aligned}$$

Rovnice IDCT [1]

$$f(x, y) = \frac{1}{4} \left(\sum_{u=0}^7 \sum_{v=0}^7 C(u) \cdot C(v) F(u, v) \cdot \cos \frac{(2x+1)u\pi}{16} \cdot \cos \frac{(2y+1)v\pi}{16} \right)$$

$$C(u) = \begin{cases} \frac{\sqrt{2}}{2}, & u = 0, \\ 1, & u \neq 0, \end{cases} \quad C(v) = \begin{cases} \frac{\sqrt{2}}{2}, & v = 0, \\ 1, & v \neq 0. \end{cases} \quad (2)$$

Rovnice DFT [2]

$$F(u, v) = \sum_{x=0}^{M-1} \sum_{y=0}^{N-1} f(x, y) e^{-j2\pi \left(\frac{ux}{M} + \frac{vy}{N} \right)}$$

Rovnice IDFT [2]

$$f(x, y) = \frac{1}{MN} \sum_{u=0}^{M-1} \sum_{v=0}^{N-1} F(u, v) e^{-j2\pi \left(\frac{ux}{M} + \frac{vy}{N} \right)}$$

Funkce pro DWT [3]

```
function imgt = dwt2(img)
    % Horizontal transformation
    L = (img(:,1:2:end) + img(:,2:2:end)) / 2;
    H = (img(:,1:2:end) - img(:,2:2:end)) / 2;

    % Vertical transformation
    LL = (L(1:2:end,:) + L(2:2:end,:)) / 2;
    LH = (L(1:2:end,:) - L(2:2:end,:)) / 2;
    HL = (H(1:2:end,:) + H(2:2:end,:)) / 2;
    HH = (H(1:2:end,:) - H(2:2:end,:)) / 2;

    % Output
    imgt = [LL, LH; HL, HH];
end
```

Funkce pro IDWT [3]

```
function img = idwt2(coef)
    [M, N] = size(coef);

    % Split into sub-blocks
    half_rows = M/2; half_cols = N/2;
    LL = coef(1:half_rows, 1:half_cols);
    LH = coef(1:half_rows, half_cols+1:end);
```

```

HL = coef(half_rows+1:end, 1:half_cols);
HH = coef(half_rows+1:end, half_cols+1:end);

% Reconstruct vertically
L = zeros(M, half_cols);
H = zeros(M, half_cols);
L(1:2:end,:) = LL + LH;
L(2:2:end,:) = LL - LH;
H(1:2:end,:) = HL + HH;
H(2:2:end,:) = HL - HH;

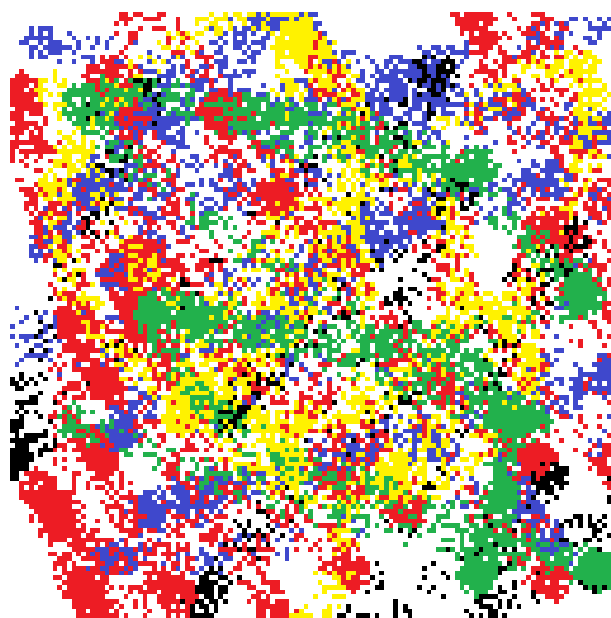
% Reconstruct horizontaly
img = zeros(M, N);
img(:,1:2:end) = L + H;
img(:,2:2:end) = L - H;
end

```

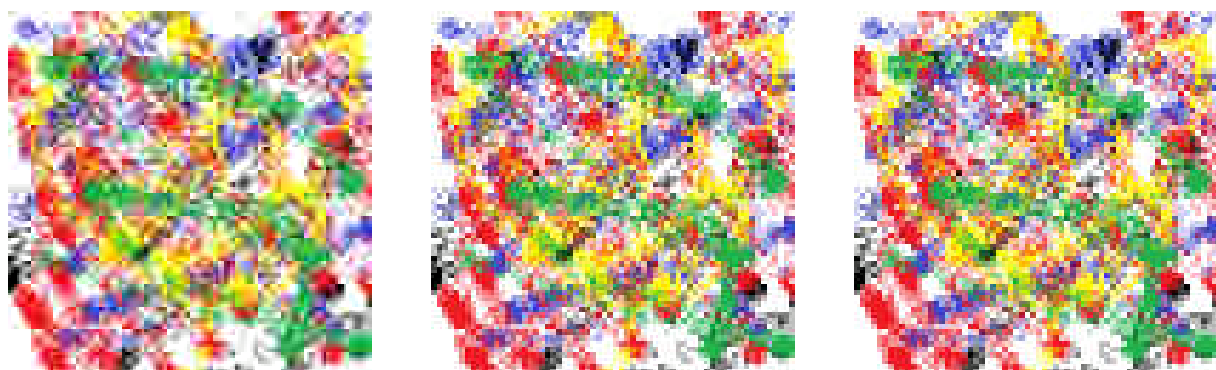
6 Výsledky

Tabulka 1: Tabulka pro barvicky.png

q	DCT			DFT			DWT		
	σ_R	σ_G	σ_B	σ_R	σ_G	σ_B	σ_R	σ_G	σ_B
10	73,267	77,449	84,687	77,724	84,395	89,372	147,241	114,530	164,743
50	69,562	74,956	80,409	76,677	83,884	88,125	70,587	75,113	81,897
70	69,081	74,567	79,352	76,647	83,884	88,180	68,763	74,494	80,301



Obrázek 1: Originální obrázek - barvicky.png

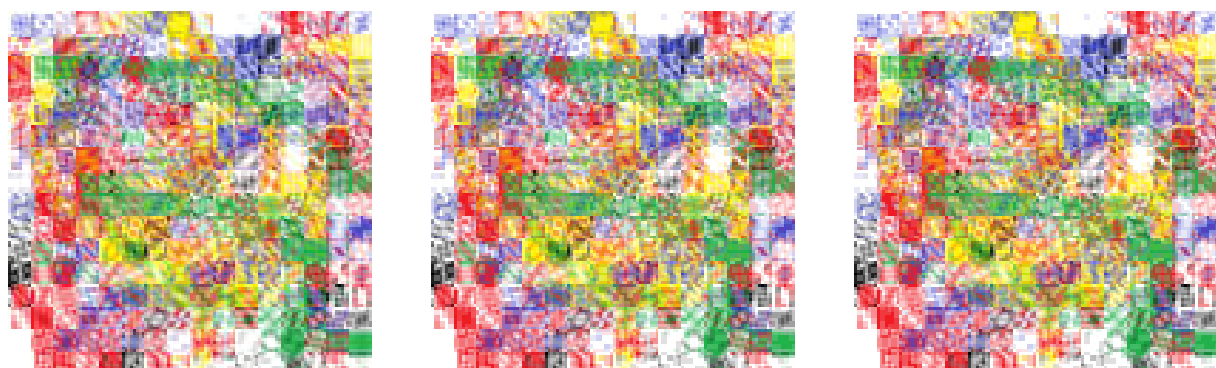


(a) $q = 10$

(b) $q = 50$

(c) $q = 70$

Obrázek 2: DCT



(a) $q = 10$

(b) $q = 50$

(c) $q = 70$

Obrázek 3: DFT



(a) $q = 10$

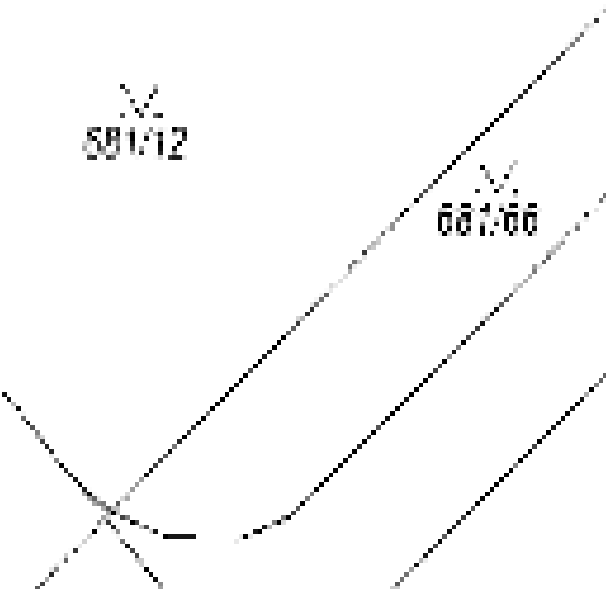
(b) $q = 50$

(c) $q = 70$

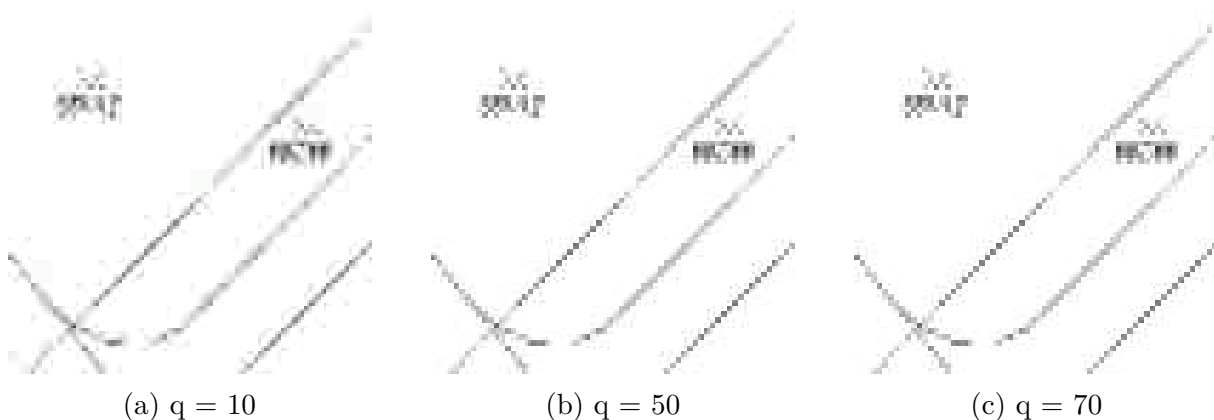
Obrázek 4: DWT

Tabulka 2: Tabulka pro dkm.png

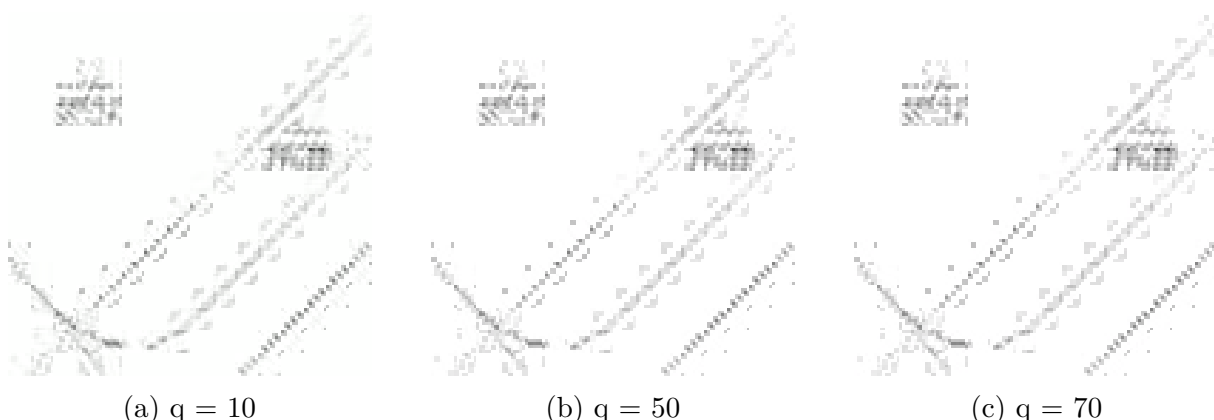
q	DCT			DFT			DWT		
	σ_R	σ_G	σ_B	σ_R	σ_G	σ_B	σ_R	σ_G	σ_B
10	26,738	26,886	26,721	28,721	28,718	28,727	129,161	99,587	161,176
50	25,614	25,643	25,614	28,609	28,609	28,609	31,028	31,564	34,396
70	25,601	25,619	25,603	28,596	28,596	28,596	28,657	27,705	30,428



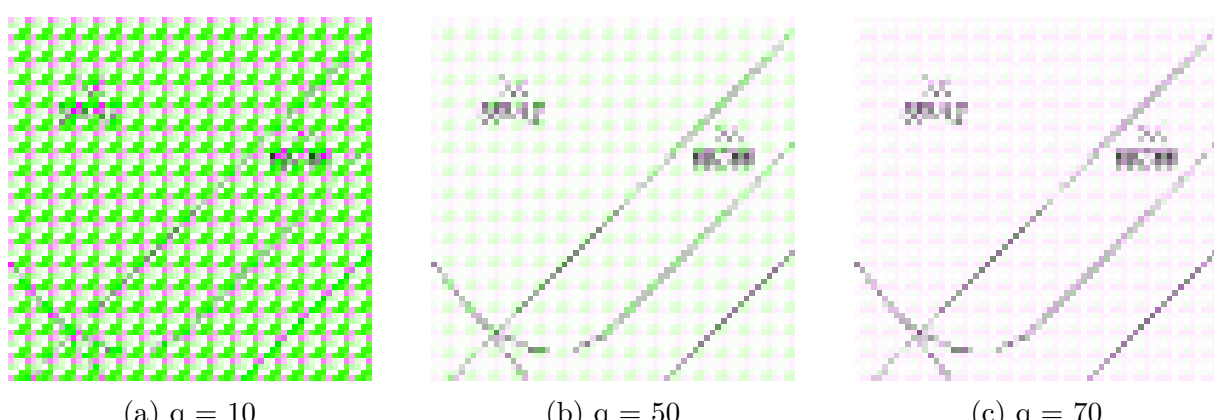
Obrázek 5: Originální obrázek - dkm.png



Obrázek 6: DCT



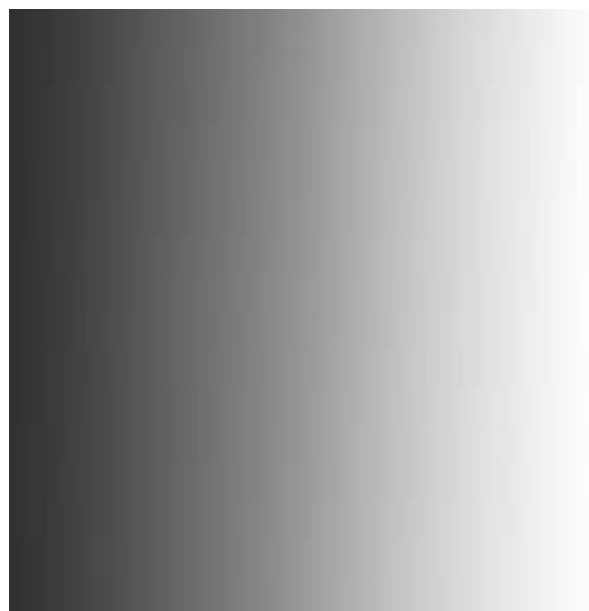
Obrázek 7: DFT



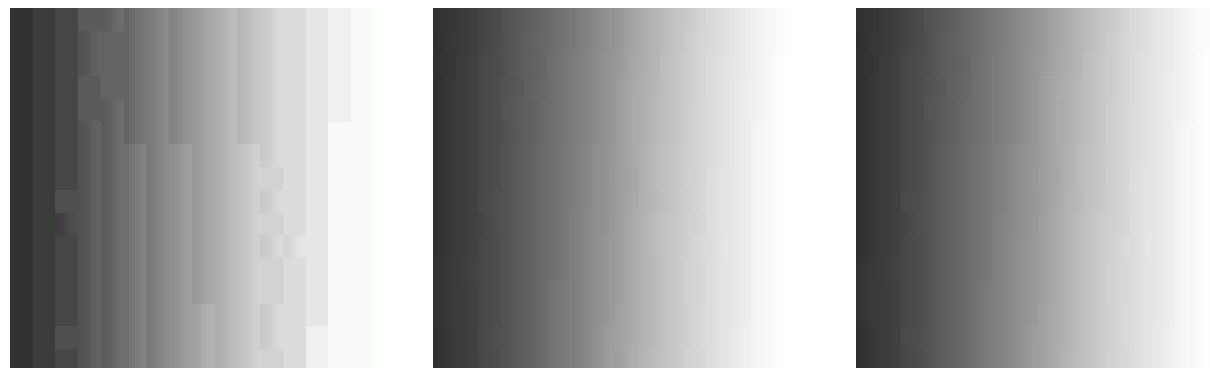
Obrázek 8: DWT

Tabulka 3: Tabulka pro gradient.png

q	DCT			DFT			DWT		
	σ_R	σ_G	σ_B	σ_R	σ_G	σ_B	σ_R	σ_G	σ_B
10	4,283	4,075	4,343	3,458	3,438	3,499	125,904	98,421	158,293
50	1,105	1,177	1,208	3,242	3,241	3,242	21,385	16,096	26,693
70	1,055	0,969	1,183	3,238	3,238	3,239	13,841	10,827	17,300



Obrázek 9: Originální obrázek - gradient.png

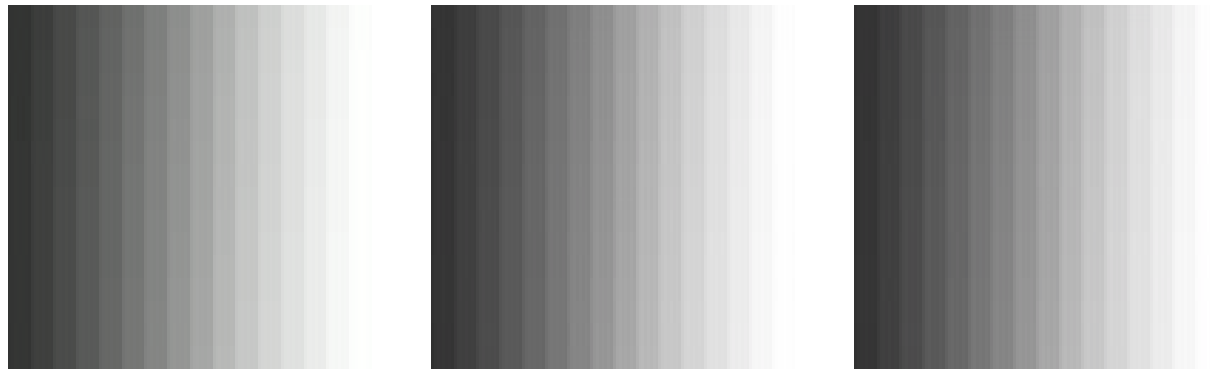


(a) $q = 10$

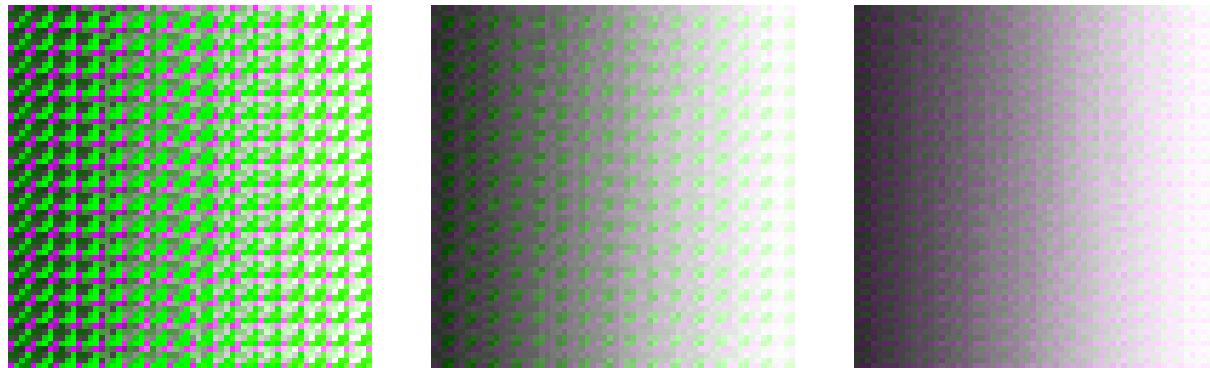
(b) $q = 50$

(c) $q = 70$

Obrázek 10: DCT

(a) $q = 10$ (b) $q = 50$ (c) $q = 70$

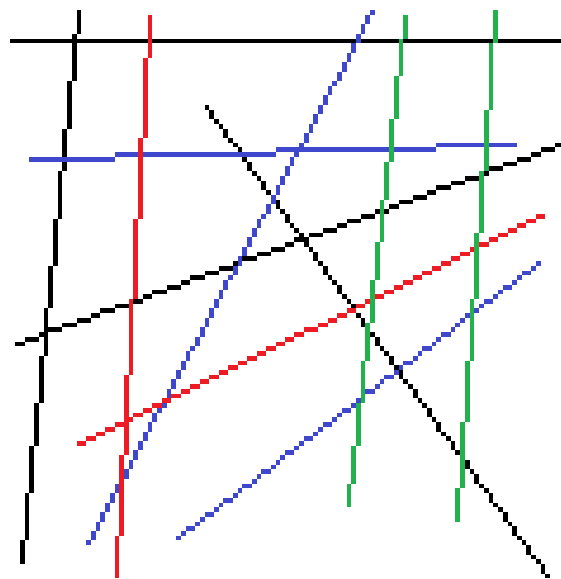
Obrázek 11: DFT

(a) $q = 10$ (b) $q = 50$ (c) $q = 70$

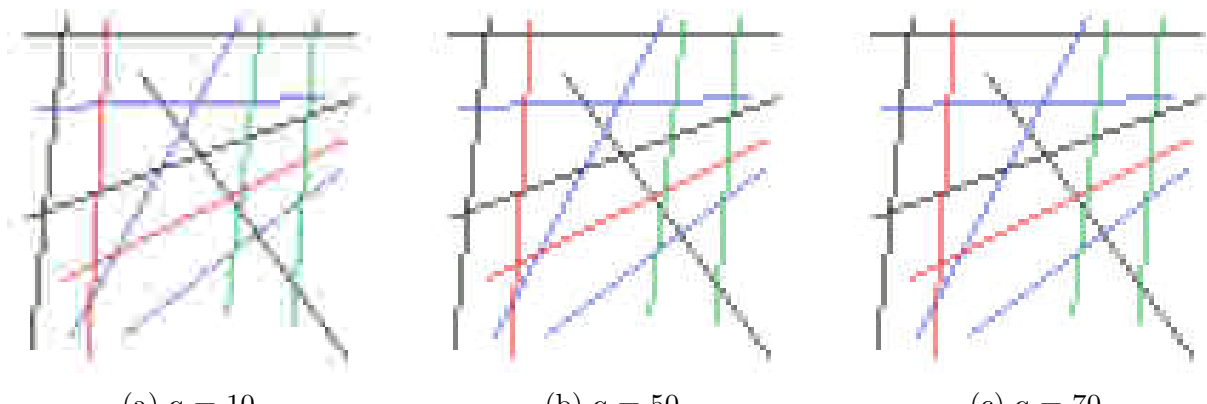
Obrázek 12: DWT

Tabulka 4: Tabulka pro rovne.png

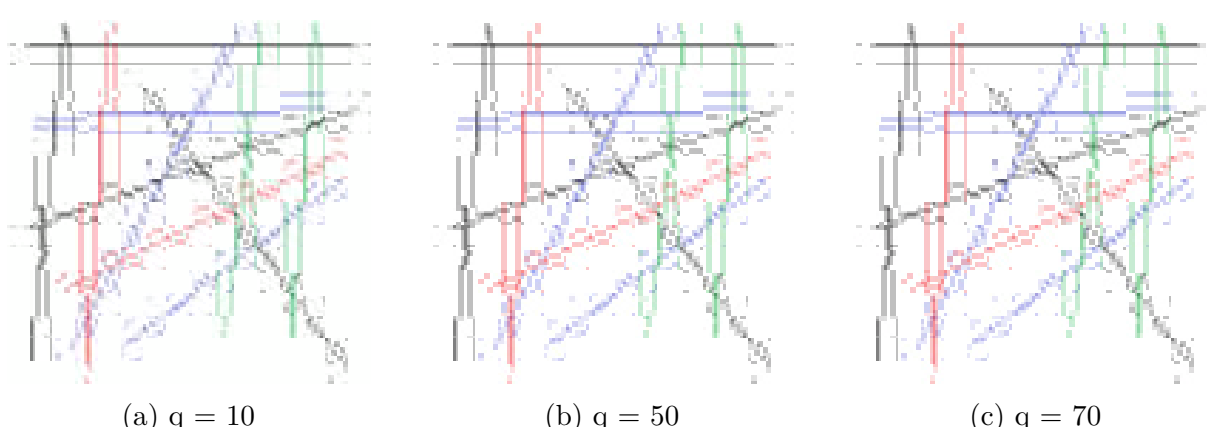
q	DCT			DFT			DWT		
	σ_R	σ_G	σ_B	σ_R	σ_G	σ_B	σ_R	σ_G	σ_B
10	42,602	42,492	41,425	46,558	47,121	45,368	133,542	102,996	164,415
50	39,960	40,196	38,838	46,166	46,947	44,991	43,268	43,855	44,905
70	39,849	40,147	38,772	46,153	46,938	44,983	41,779	41,399	41,823



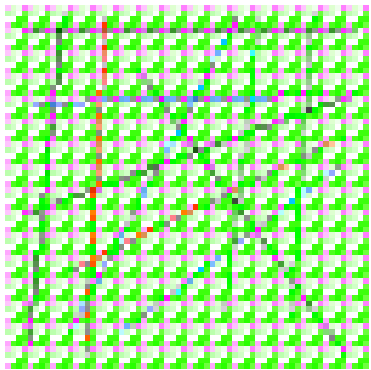
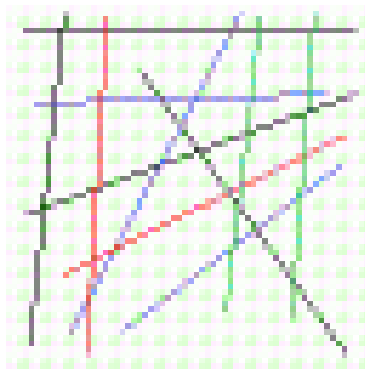
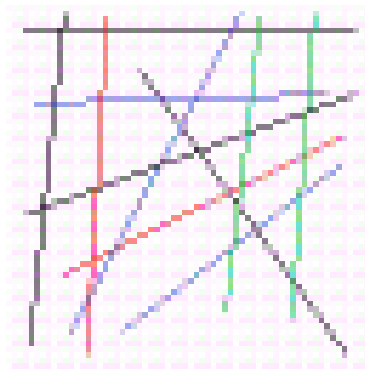
Obrázek 13: Originální obrázek - rovne.png



Obrázek 14: DCT



Obrázek 15: DFT

(a) $q = 10$ (b) $q = 50$ (c) $q = 70$

Obrázek 16: DWT

Tabulka 5: Tabulka pro text.png

q	DCT			DFT			DWT		
	σ_R	σ_G	σ_B	σ_R	σ_G	σ_B	σ_R	σ_G	σ_B
10	15,172	15,499	15,130	20,512	20,507	20,519	127,296	97,676	159,638
50	14,819	14,880	14,818	20,413	20,413	20,413	23,313	23,948	27,648
70	14,861	14,905	14,863	20,418	20,418	20,419	19,968	18,621	22,429

Sample
text

Obrázek 17: Originální obrázek - text.png

Sample
text

Sample
text

Sample
text

(a) $q = 10$

(b) $q = 50$

(c) $q = 70$

Obrázek 18: DCT

Sample
text

Sample
text

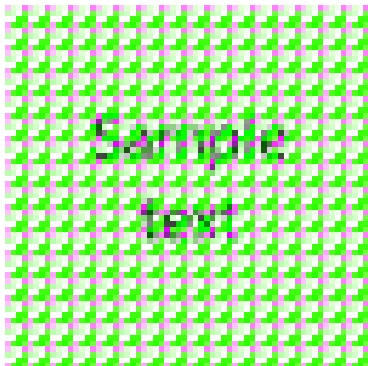
Sample
text

(a) $q = 10$

(b) $q = 50$

(c) $q = 70$

Obrázek 19: DFT



(a) $q = 10$



(b) $q = 50$



Sample
text

(c) $q = 70$

Obrázek 20: DWT

Nejlepších výsledků ze zadaných transformací dosáhla DCT, u které jsou směrodatné odchylky téměř ve všech případech nejmenší. Již na první pohled na rekonstruované obrázky je patrné, že tato transformace poskytuje nejkvalitnější výsledky.

Při použití DFT je patrné, jak se při kompresi a následné dekomprese uplatňují bloky o velikosti 8×8 . Transformace si nejlépe poradila s postupným gradientem – přechody jsou sice viditelné, ale probíhají plynule. Nejhůře si DFT poradila s liniovými obrazci a s oblastmi, kde se často střídají barvy.

Transformace DWT se ze všech použitých metod neosvědčila nejlépe, což je nejmarnatnější při kompresním faktoru $q = 10$. V tomto případě se obraz zaplní pixely se zelenou barvou, takže původní obraz je prakticky nerozeznatelný. Při zvýšení kompresního faktoru na $q = 70$ se kvalita komprese a následné dekomprese zlepšila, přesto však zůstává výrazně horší než u DCT s $q = 10$, kromě případů, kdy dochází k časté změně barev. Jak je patrné na prvním příkladu, zde si DWT vedla velmi dobře a poskytuje výsledky srovnatelné s DCT.

7 Závěr

Z jednotlivých příkladů je patrné, že při použití kompresního koeficientu $q = 10$ dochází k největší ztrátě přesnosti oproti originálnímu obrazu. Zároveň lze pozorovat určité trendy v kvalitě rekonstrukce mezi jednotlivými transformacemi.

Na základě provedených testů lze říci, že DCT poskytuje nejkvalitnější výsledky při nízkém kompresním faktoru, zatímco DWT a DFT vykazují vyšší citlivost na strukturu obrazu. Tyto poznatky odpovídají očekáváním a potvrzují vhodnost DCT pro obrazovou kompresi.

Celkově se podařilo splnit všechny body zadání, včetně těch bonusových.

V Praze dne 19.11.2025

František Gurecký

Vítěk Veselý

Literatura

- [1] Tomáš Bayer. *Komprese a kompresní algoritmy*. 2025. URL:
<https://github.com/k155cvut/ygei/blob/main/prednasky/geoinf2.pdf>.
- [2] *The Discrete Fourier Transform*. URL:
<https://www.robots.ox.ac.uk/~sjrob/Teaching/SP/17.pdf>.
- [3] *Discrete wavelet transform, wavelets, and wavelet basis*. URL: https://kma.fp.tul.cz/images/stories/files/cerna/wavelets2019/Talk1_2019.pdf.